



مقاله پژوهشی

بررسی اثر سویه‌های بومی پریوپیوتیک بر بیومارکر مغزی آمیلوئید بتا در رت‌های آلزایمری شده نژاد ویستار

احسان اصغری جعفری، مریم قبه^{*}، هانیه جعفری، پریچهره یغمایی*

گروه زیست‌شناسی، واحد علوم و تحقیقات تهران، دانشگاه آزاد اسلامی، تهران، ایران

*مسئولین مکاتبات: yaghmaei_p@yahoo.com و ghobeh@srbiau.ac.ir

DOI: 10.22034/ascij.2022.1951817.1360

تاریخ پذیرش: ۱۴۰۰/۱۱/۳۰ تاریخ دریافت: ۱۴۰۰/۱۰/۱۶

چکیده

یکی از مهمترین علل پدیده فرسوده شدن جمعیت جهان، افزایش بیش از اندازه بیماری‌های نورو-دئنراتیو است که آلزایمر شایعترین آنها است که با تجمع خارج سلولی پلاک‌های آمیلوئید بتا (A β) در ناحیه هیپوکامپ مشخص می‌شود. پریوپیوتیک‌ها موجودات ریززنده و فعال میکروسکوپی هستند که استفاده از این میکرووارگانیسم‌ها به منظور حفظ و بهبود سلامت انسان بسیار مهم است. هدف از تحقیق حاضر بررسی اثر دو سویه پریوپیوتیک *Limosilactobacillus* و *Bifidobacterium longum* و *Bifidobacterium reuteri* بر بیان ژن A β 42 و نیز تعداد پلاک‌های آمیلوئیدی و نوروژن در مغز رت‌های آلزایمری بود. برای این منظور، ابتدا دو سویه پریوپیوتیک از ماست سنتی جداسازی، خالص سازی و شناسایی شدند و سپس گروه‌های آزمایشی به این ترتیب دسته بندی شدند: تعداد ۳۰ سر موش نر نژاد ویستار به طور تصادفی به ۵ گروه تقسیم شدند. گروه کنترل بدون جراحی و تیمار خاص بودند. سایر گروه‌ها تحت جراحی قرار گرفته و به آنها بتا آمیلوئید تزریق شد. به گروه شم آب (حال پریوپیوتیک) تزریق شد و دو گروه با دوز 10^9 CFU $\times 2/5$ از دو سویه پریوپیوتیک *Limosilactobacillus reuteri* و *Bifidobacterium longum* و *Bifidobacterium reuteri* تیمار شدند. در نهایت میزان بیان ژن A β 42 توسط وسترن بلاط و نیز تعداد پلاک‌های آمیلوئیدی و نوروون‌ها در مغز رت‌های آلزایمری مورد بررسی قرار گرفتند. در موش‌های آلزایمری مرگ سلولی نوروون‌ها به طور گستردۀ در هیپوکامپ رخ داد و تعداد پلاک‌های آمیلوئیدی نیز افزایش داشته‌اند ($p < 0.001$). همچنین بیان ژن A β 42 نیز در موش‌های آلزایمری افزایش داشته است. تیمار موش‌ها با پریوپیوتیک‌ها تمامی موارد ذکر شده را به طور معناداری بهبود بخشید. دو سویه پریوپیوتیک درمان بیماری آلزایمر و کاهش علائم آن مورد استفاده قرار گیرد که این امر نیازمند انجام تحقیقات بیشتر می‌باشد.

کلمات کلیدی: آمیلوئید بتا، سویه بومی پریوپیوتیک، وسترن بلاط، پلاک‌های آمیلوئیدی، نوروژن.

مقدمه

نوروفیبریلاری در داخل نوروون‌ها است که در اثر هیپوفیبریلاری می‌باشد. این های تاو، ایجاد می‌شوند که در قسمت هیپوکامپ و سایر نواحی قشری دیده

بیماری آلزایمر دارای دو خصوصیت نوروپاتولوژیکی مهم است که یکی تجمع پلاک در قسمت خارج سلولی نوروون‌ها بوده و دیگری تشکیل کلاف‌های

پروبیوتیک‌ها در سطوح متعددی بر روی سیستم ایمنی تاثیر می‌گذارند که از جمله افزایش سطح سیتوکاین‌ها (۱۲) و ایمونوگلوبولین‌ها، افزایش تکثیر سلول‌های مونونوکلئاز (۱۸)، فعال کردن ماکروفازها (۴۲)، تولید سیتوکاین‌های پیش التهابی مانند TNF- α و ایترلوكین ۶ را القا می‌کنند (۲۹).

یک پروبیوتیک است *Limosilactobacillus reuteri* که به دلیل اثرات مفید (۳۷، ۲۳)، آن بر برخی بیماری‌های گوارشی، به خوبی شناخته شده است (۳۴). بیفیدوバکتری‌ها باکتری‌های بی‌هوایی گرم مثبت، دارای ژنوم غنی از GC هستند (۴۱). این میکروگانیسم‌ها بخشی از میکروفلور طبیعی در روده بزرگ انسان و برخی حیوانات دیگر هستند (۴۹). برای داشتن خواص ارتقاء دهنده سلامت برای میزان خود که شامل افزایش پاسخ ایمنی (۲۰)، مهار سلطان‌زایی (۶)، حفاظت از میزان در برابر عفونت ویروسی (۱۶) و ممکن است تولید مواد ضد باکتری انجام دهند (۴۰).

نام پروبیوتیک به عنوان کربوهیدرات‌های زنجیره کوتاه که به وسیله آنزیم‌ها در سیستم گوارشی هضم نمی‌شوند، اطلاق می‌شود. یک پری‌بیوتیک باید باعث بهبود رشد بیفیدوباکتریوم‌ها و باکتری‌های اسیدلاکتیک شود (۳۹). بنابراین، مطالعه حاضر به منظور بررسی اثر دو پروبیوتیک در موش‌های مدل آزاریمری و مقایسه نتایج با هر یک از موارد مجزا صورت گرفت.

مواد و روش‌ها

سویه‌های پروبیوتیک در آزمایشگاه مولکولی از ماست سنتی جداسازی شده و توسط آزمون‌های تشخیصی اولیه (آزمون کاتالاز، آزمون همولیز، آزمون اکسیداز) و در نهایت توسط توالی یابی شناسایی شدند. در مطالعه حاضر، ۳۰ سر موش صحرایی نر نژاد ویستان

می‌شوند (۲۷). دیگر خصوصیات پاتوفیزیولوژیکی دخیل در بیماری آزاریمر عبارتند از اختلال عملکرد سیستم کولینرژیک، افزایش استرس اکسیداتیو (۲۸)، التهاب، مرگ سلول‌های عصبی، از دست رفتن سیناپس عصبی، آتروفی مغزی (۲۵)، کاهش هورمون‌های استروئیدی و سمیت عصبی ناشی از نوروترانسミتر گلوتامات (۳۶). در این میان، پیتیدهای بتا آمیلوئیدی دارای نقش اساسی در پاتوژنیز بیماری آزاریمر به عنوان جزء مهم تشکیل دهنده پلاک‌های پیری هستند و بنظر می‌رسد که تشکیل آنها شروع بیماری را رقم می‌زنند (۵۰).

اختلال در سیستم کولینرژیک جزو تغییرات زودرس عملکرد سیناپسی در بیماری آزاریمر محسوب می‌شود و احتمال دارد با افزایش میزان پیتید بتا آمیلوئید در مغز مرتبط باشد (۳۳).

گیرندهای پیش سیناپسی استیل کولین که پیتید بتا آمیلوئید با تمایل بسیار بالایی به این گیرندها متصل می‌شود، آزادی استیل کولین را در نورون‌های هیپوکامپ مغز با مشکل مواجه می‌کند (۱۱).

پروبیوتیک‌ها ریززنده‌هایی هستند (۱۹) که در صورت ورود تعداد کافی آن به روده، اثرات سلامت بخشی بر میزان اعمال می‌کند (۲۲). مصرف برای اثربخش بودن غذا بر سلامتی باید حداقل 10^9-10^6 cfu/ml باشد (۴۵). اثرات سلامت بخش پروبیوتیک‌ها بر انسان شامل افزایش تحمل و هضم لاکتوز، اثر مثبت بر فلور میکروبی روده، کاهش pH روده، بهبود عملکرد روده، کاهش کلسترول، آمونیاک و دیگر ترکیبات سمی، تولید ویتامین‌های گروه B نظیر فولیک اسید، ترمیم و تجدید فلور طبیعی روده بعد از درمان با آنتی‌بیوتیک‌ها، درمان و جلوگیری از اسهال حاد ایجاد شده به وسیله روتاواریوس‌ها و تقویت سیستم ایمنی بدن است (۵).

با وزن $200\text{-}250$ گرم از مؤسسه انسیتو پاستور ایران خریداری شدند. موش‌ها در دمای حدود 20 ± 2 درجه سانتیگراد و رطوبت $50\text{-}60$ درصد و سیکل نوری ۱۲ ساعته نگهداری شدند. بعد از یک هفته آشنازی با محیط نگهداری، موش‌ها به طور تصادفی انتخاب شدند. برای القاء آلزایمر از آمیلوپید بنا $1\text{-}42$ خریداری شده از شرکت سیگما-آلدریچ آمریکا (*Sigma-Aldrich, USA*) استفاده شد که در آب مقطر دوبار استریل حل شده و به مدت یک هفته در دمای 37 درجه سانتی گراد انکوبه شده بود تا فیبریل‌های کامل شکل گیرد. جهت بیهوشی از تزریق درون صفاقی کتامین (50 میلی گرم/کیلوگرم) و زایلازین (5 میلی گرم/کیلوگرم) استفاده شد و حیوانات درون دستگاه استریوتاکس قرار گرفتند. پس از تراشیدن موهای روی سر و ایجاد یک برش ساجیتال، درز برگما و لامبدا کاملاً مشخص شد. با استفاده از اطلس پاکسینوس و واتسون مشخصات ناحیه CA1 هیپوکامپ با مختصات قدامی - خلفی $3/8$ و طرفی $2/4$ و پشتی $2/7$ میلی‌متر علامت‌گذاری شد و سپس جمجمه به آرامی با متنه سوراخ شد. برای تزریق آمیلوپید بنا به وسیله سرنگ همیلتون از طریق سوراخ‌های ایجاد شده درون مغز و با عمق محاسبه شده، به میزان 2 میکرولیتر آمیلوپید بنا به صورت دوطرفه و به آرامی تزریق شد (12). حیوانات به 5 گروه 6 تایی تقسیم شدند که شامل: 1 . گروه کترل که فقط آب و غذای معمولی دریافت کردند، 2 . گروه آلزایمری که تحت جراحی آلزایمری قرار گرفتند و 3 . گروه آمیلوپید در داخل هیپوکامپ مغز تزریق شد. 4 . گروه شم که تحت جراحی آلزایمری قرار گرفتند و 5 . گروه آب مقطر درون هیپوکامپ مغز تزریق شد.

در این تحقیق از نرم‌افزار اکسل استفاده شده و برای بررسی وجود تفاوت معنی‌دار بین گروه‌ها از آزمون واریانس ANOVA و TUKEY استفاده شد. داده‌ها به صورت $MEAN \pm SEM$ با سطوح معنی‌دار $p < 0.01$ و $p < 0.001$ برای گروه‌ها در تمام مراحل در نظر گرفته شد.

نتایج

پس از جداسازی و تخلیص سویه‌های پروپیوتیک در آزمایشگاه مولکولی، دو سویه بر اساس توالی یابی در

با وزن $200\text{-}250$ گرم از مؤسسه انسیتو پاستور ایران خریداری شدند. موش‌ها در دمای حدود 20 ± 2 درجه سانتیگراد و رطوبت $50\text{-}60$ درصد و سیکل نوری ۱۲ ساعته نگهداری شدند. بعد از یک هفته آشنازی با محیط نگهداری، موش‌ها به طور تصادفی انتخاب شدند. برای القاء آلزایمر از آمیلوپید بنا $1\text{-}42$ خریداری شده از شرکت سیگما-آلدریچ آمریکا (*Sigma-Aldrich, USA*) استفاده شد که در آب مقطر دوبار استریل حل شده و به مدت یک هفته در دمای 37 درجه سانتی گراد انکوبه شده بود تا فیبریل‌های کامل شکل گیرد. جهت بیهوشی از تزریق درون صفاقی کتامین (50 میلی گرم/کیلوگرم) و زایلازین (5 میلی گرم/کیلوگرم) استفاده شد و حیوانات درون دستگاه استریوتاکس قرار گرفتند. پس از تراشیدن موهای روی سر و ایجاد یک برش ساجیتال، درز برگما و لامبدا کاملاً مشخص شد. با استفاده از اطلس پاکسینوس و واتسون مشخصات ناحیه CA1 هیپوکامپ با مختصات قدامی - خلفی $3/8$ و طرفی $2/4$ و پشتی $2/7$ میلی‌متر علامت‌گذاری شد و سپس جمجمه به آرامی با متنه سوراخ شد. برای تزریق آمیلوپید بنا به وسیله سرنگ همیلتون از طریق سوراخ‌های ایجاد شده درون مغز و با عمق محاسبه شده، به میزان 2 میکرولیتر آمیلوپید بنا به صورت دوطرفه و به آرامی تزریق شد (12). حیوانات به 5 گروه 6 تایی تقسیم شدند که شامل: 1 . گروه کترل که فقط آب و غذای معمولی دریافت کردند، 2 . گروه آلزایمری که تحت جراحی آلزایمری قرار گرفتند و 3 . گروه آمیلوپید در داخل هیپوکامپ مغز تزریق شد. 4 . گروه شم که تحت جراحی آلزایمری قرار گرفتند و 5 . گروه آب مقطر درون هیپوکامپ مغز تزریق شد.

تجربی (۱) : در این گروه حیوانات تحت عمل جراحی آلزایمری شدن با تزریق بنا آمیلوپید قرار گرفتند و سویه اول پروپیوتیک لاکتوپاسیل

حالیکه در مقایسه با گروه کنترل منفی کاهش معناداری در سطح $0.001 < p$ مشاهده شد (شکل ۳). این موضوع نشان‌دهنده تاثیر مثبت دریافت پروبیوتیک‌های *Bifidobacterium longum* و *Limosilactobacillus reuteri* بر میزان نوروژن در گروه‌های آزایمری بوده است. در بررسی دیگر، تعداد پلاک‌های آمیلوئیدی در گروه‌های تجربی دریافت کننده دو پروبیوتیک در مقایسه با گروه‌های کنترل آزایمری و شم در سطح $0.001 < p$ کاهش معناداری داشته است. در مقابل، نسبت به گروه کنترل افزایش معناداری نشان داده شد ($0.05 < p$) (شکل ۴). این موضوع نشان دهنده عدم وجود پلاک‌های آمیلوئیدی در گروه سالم که آب و غذای معمولی دریافت می‌کردند می‌باشد.

Genbank با دارا بودن ۷۹ و ۷۲ درصد شباهت به ترتیب به عنوان دو سویه پروبیوتیک *Limosilactobacillus* و *Bifidobacterium longum reuteri* شناسایی شدند (شکل ۱). پس از پایان دوره تجربیات، نتایج حاصل از مطالعه و سترن بلاط نشان داد که بیان ژن $A\beta42$ در گروه آزایمر و شم افزایش داشته است. این در حالیست که تیمار گروه‌ها با پروبیوتیک‌های *Bifidobacterium longum* و نیز *Limosilactobacillus reuteri* موجب کاهش میزان بیان ژن $A\beta42$ شده‌اند (شکل ۲). یافته دیگر مطالعه حاضر نشان داد که میزان شمارش نورون‌ها در گروه‌های درمانی دریافت کننده دو پروبیوتیک در مقایسه با گروه‌های کنترل آزایمری و شم در سطح $0.01 < p$ افزایش معناداری یافته بود، در

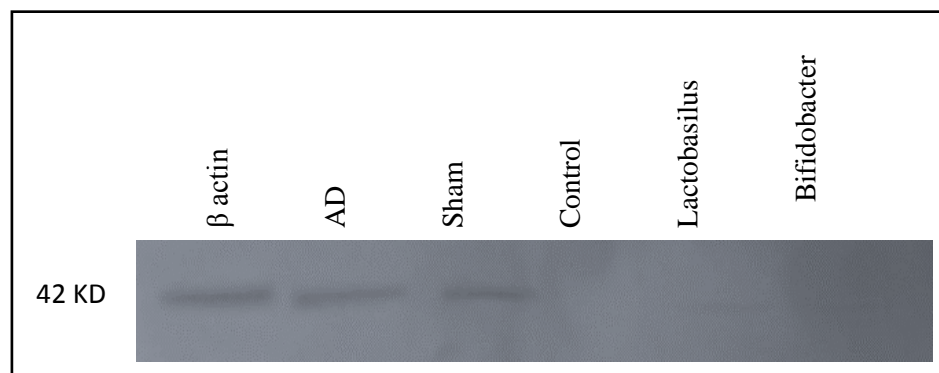
A

<input checked="" type="checkbox"/> select all 100 sequences selected				GenBank		Graphics		Dist	
	Description	Common Name	Max Score	Total Score	Query Cover	E value	Per. Ident		
<input checked="" type="checkbox"/>	Limosilactobacillus reuteri strain 1B chromosome complete genome	Limosilac...	275	1208	77%	2e-69	72.65%		
<input checked="" type="checkbox"/>	Lactobacillus reuteri SD2112 complete genome	Lactobaci...	275	1246	77%	2e-69	72.65%		
<input checked="" type="checkbox"/>	Limosilactobacillus reuteri strain AN417 chromosome complete genome	Limosilac...	270	1239	77%	7e-68	72.35%		
<input checked="" type="checkbox"/>	Limosilactobacillus reuteri strain CNI-KCA2 chromosome	Limosilac...	270	545	77%	7e-68	72.35%		
<input checked="" type="checkbox"/>	Limosilactobacillus reuteri strain reuteri chromosome complete genome	Limosilac...	270	1243	77%	7e-68	72.35%		
<input checked="" type="checkbox"/>	Limosilactobacillus reuteri strain LL7 chromosome complete genome	Limosilac...	270	1243	77%	7e-68	72.35%		
<input checked="" type="checkbox"/>	Limosilactobacillus reuteri strain YSJL-12 chromosome complete genome	Limosilac...	270	1239	77%	7e-68	72.35%		
<input checked="" type="checkbox"/>	Limosilactobacillus reuteri strain ATG-F4 chromosome complete genome	Limosilac...	270	1230	77%	7e-68	72.35%		
<input checked="" type="checkbox"/>	Limosilactobacillus reuteri strain WHH1689 chromosome complete genome	Limosilac...	270	1243	77%	7e-68	72.35%		
<input checked="" type="checkbox"/>	Limosilactobacillus reuteri strain ZLR003 chromosome complete genome	Limosilac...	270	1239	77%	7e-68	72.35%		
<input checked="" type="checkbox"/>	Lactobacillus reuteri complete genome strain ATCC 53608	Lactobaci...	270	1239	77%	7e-68	72.35%		

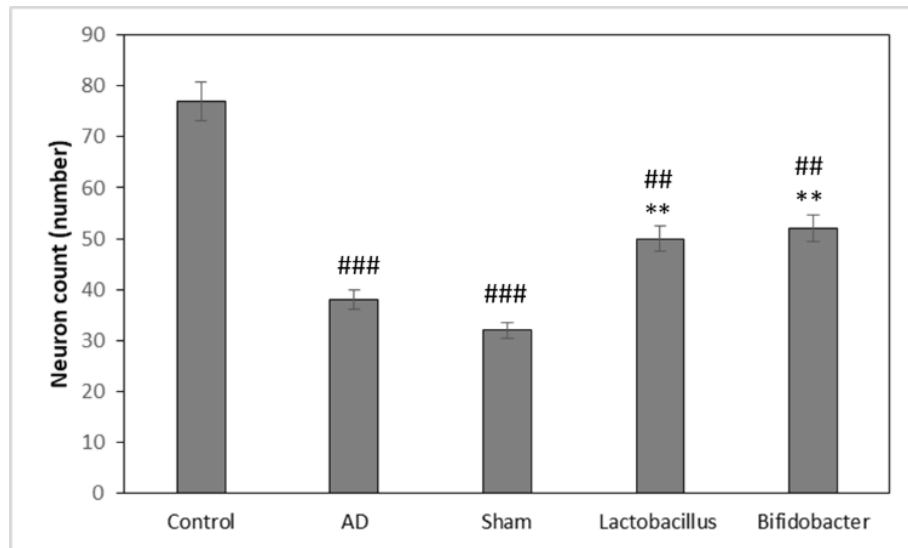
B

<input checked="" type="checkbox"/> select all 100 sequences selected				GenBank		Graphics		Dis	
	Description	Common Name	Max Score	Total Score	Query Cover	E value	Per. Ident		
<input checked="" type="checkbox"/>	Bifidobacterium longum subsp. suillum strain 3255 16S ribosomal RNA	Bifidobac...	1076	1076	79%	0.0	100.00%		
<input checked="" type="checkbox"/>	Bifidobacterium longum subsp. suillum strain 3254 16S ribosomal RNA	Bifidobac...	1076	1076	79%	0.0	100.00%		
<input checked="" type="checkbox"/>	Bifidobacterium longum subsp. suillum strain 3253 16S ribosomal RNA	Bifidobac...	1076	1076	79%	0.0	100.00%		
<input checked="" type="checkbox"/>	Bifidobacterium longum subsp. suillum strain 3278 16S ribosomal RNA	Bifidobac...	1076	1076	79%	0.0	100.00%		
<input checked="" type="checkbox"/>	Bifidobacterium longum subsp. suillum strain 3276 16S ribosomal RNA	Bifidobac...	1076	1076	79%	0.0	100.00%		
<input checked="" type="checkbox"/>	Bifidobacterium longum subsp. suillum strain 3262 16S ribosomal RNA	Bifidobac...	1076	1076	79%	0.0	100.00%		
<input checked="" type="checkbox"/>	Bifidobacterium longum subsp. suillum strain 3243 16S ribosomal RNA	Bifidobac...	1076	1076	79%	0.0	100.00%		
<input checked="" type="checkbox"/>	Bifidobacterium longum subsp. suillum strain 3239 16S ribosomal RNA	Bifidobac...	1076	1076	79%	0.0	100.00%		
<input checked="" type="checkbox"/>	Bifidobacterium longum subsp. suillum strain 3219 16S ribosomal RNA	Bifidobac...	1076	1076	79%	0.0	100.00%		
<input checked="" type="checkbox"/>	Bifidobacterium longum subsp. suillum strain 3218 16S ribosomal RNA	Bifidobac...	1076	1076	79%	0.0	100.00%		
<input checked="" type="checkbox"/>	Bifidobacterium longum subsp. suillum strain 3215 16S ribosomal RNA	Bifidobac...	1076	1076	79%	0.0	100.00%		
<input checked="" type="checkbox"/>	Bifidobacterium longum subsp. suillum strain 3213 16S ribosomal RNA	Bifidobac...	1076	1076	79%	0.0	100.00%		

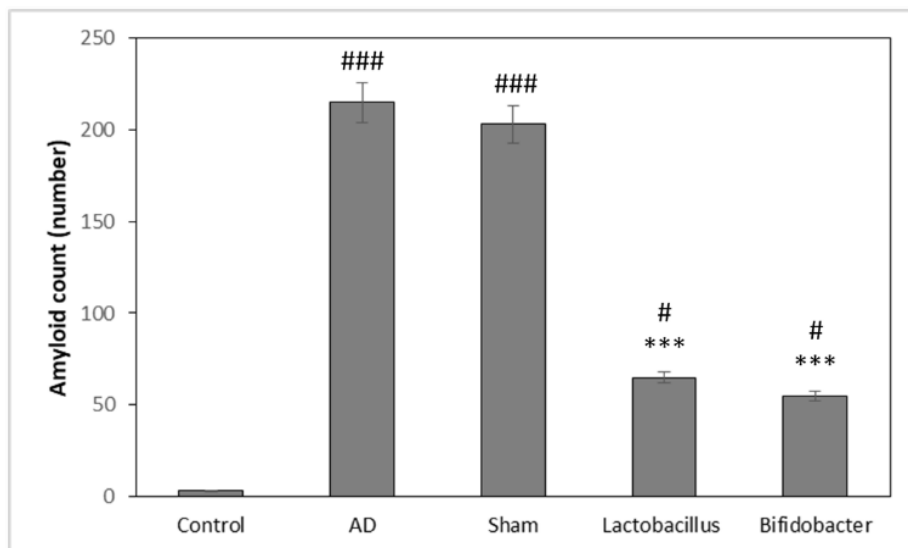
شکل ۱- توالی یابی دو سوبه پروپیوتیک (B) *Bifidobacterium longum* (A) و *Limosilactobacillus reuteri* در Genbank



شکل ۲- وسترن بلات به منظور بررسی بیان ژن β 42 در گروههای مختلف نمایش داده شده است.



شکل ۳- شمارش نورون‌ها در گروه‌های مختلف. * اختلاف معنی دار با گروه آلزایمری (AD) و # اختلاف معنی دار با گروه کنترل. (###: $p < 0.001$), (**: $p < 0.01$) و (#: $p < 0.05$).



شکل ۴- شمارش پلاک‌های آمیلوبیدی در گروه‌های مختلف. * اختلاف معنی دار با گروه آلزایمری (AD) و # اختلاف معنی دار با گروه کنترل. (###: $p < 0.001$), (**: $p < 0.01$) و (#: $p < 0.05$).

و *Bifidobacterium longum* نیز باعث کاهش تجمع بتا آمیلوبید در هیپوکامپ شده است. مطالعه مهرآبادی و همکاران نیز نشان داد که تجویز پروبیوتیک‌ها باعث کاهش تجمع بتا آمیلوبید در هیپوکامپ موش‌های آلزایمری شده است. در یک مدل آلزایمری موش، علاوه بر این، پروبیوتیک‌ها

بحث
مطالعات نشان می‌دهد که یک دوز واحد AB1-42 می‌تواند منجر به تشکیل پلاک (۴) و کاهش قابل توجهی در حافظه و یادگیری شود. مصرف پروبیوتیک می‌تواند از اختلال یادگیری و اختلال حافظه در مدل موش آلزایمری، جلوگیری کند و باعث کاهش تعداد و اندازه پلاک‌ها گردد (۴۳). در این راستا پژوهش حاضر نشان داد که مصرف دو پروبیوتیک

شوند. مشخص گشته است که بهبود استرس اکسیداتیو و التهاب عصبی توسط پروپیوتیک‌ها می‌تواند باعث پاک شدن پلاک‌ها شوند و تعداد و اندازه آنها را کاهش دهند (۵۱).

در بررسی‌های حاصل از شمارش نورومن‌ها نتایج حاصل از مطالعه حاضر نیز نشان داد که دریافت پروپیوتیک‌ها توانسته‌اند به طور معناداری باعث نورومن‌زایی گردد. چندین مطالعه دیگر ارتباط بین اختلال در میکروبیوم انسان و اختلالات نورومن‌زایی ایجاد کرده‌اند. به ویژه در آلزایمر را مورد بررسی قرار داده است. در حقیقت، یک پروپیوتیک وقتی ایجاد می‌شود، علائم آلزایمر را از طریق مکانیسم‌های مختلف بهبود می‌بخشد. این نتایج شامل تولید آنتی اکسیدان و متعاقب با آن، ختشی‌سازی گونه‌های فعال اکسیژن (ROS) در دستگاه گوارش، کاهش تنظیم التهاب ناشی از آبشار سیتوکین‌ها و تقویت عملکرد سد اپتیلیال می‌باشند (۵۲). همچنین، پروپیوتیک‌ها تحت تأثیر بیوشیمی مغز قرار می‌گیرند و سطح مولدهای عصبی یا انتقال دهنده‌های عصبی از جمله به عنوان فاکتور نوروتروفین مشتق شده از مغز (BDNF) (۸)، اسید گاما-آمینوبوتیریک (GABA) (۷)، سروتونین و دوپامین (۳۵)، نوراپی‌نفرین، استیل کولین (۱۰)، اعصاب روده‌ای (۵۳)، محور HPA (۱) و سیستم ایمنی (۱۳) و غدد درون ریز را افزایش می‌دهند (۱۴). اختلال در نوروژن در هیپوکامپ از طریق افرایش بیان فاکتورهای pro-apoptotic و تولید استرس اکسیداتیو (۳۲)، کاهش می‌یابند. در این خصوص، مکمل پروپیوتیک باعث بهبود علائم مذکور گشته است (۲). به نظر می‌رسد که پروپیوتیک‌ها می‌توانند بر حافظه و تشکیل پلاک با تأثیر بر مکانیسم‌های آسیب شناختی در آلزایمر، مانند استرس اکسیداتیو، تأثیر بگذارند (۳۰). فعالیت آنتی اکسیدانی پروپیوتیک‌هایی مانند *L. acidophilus*, *B. longum* و *L. acidophilus fermentum*

التهاب عصبی و مارکرهای استرس اکسیداتیو در حیوانات مبتلا را کاهش می‌دهند. اطلاعات نشان داد که استفاده از مخلوط پروپیوتیک به مدت ۱۰ هفته، باعث بهبود و تاخیر در تلفیق حافظه فضایی مدل موش‌های آلزایمری شده است (۴۶). همچنین مکمل پروپیوتیک به طور قابل توجهی فضای وابسته به هیپوکامپ را بهبود می‌بخشد و در حافظه و انعطاف-پذیری سیناپسی در موش‌های صحرایی آلزایمری شده توسط بتا-آمیلوئید نیز نقش دارد و همچنین به طور مطلوب، تعادل ضد اکسیدان و عوامل اکسید کننده را تحت تأثیر قرار می‌دهد. روی هم رفته، شواهد حاضر، ارتباط بین پلاک‌های بتا-آمیلوئید و فعالیت سیناپسی را مشخص می‌کند (۴۴). به طور مداوم، نشان داد که پاکسازی پلاک‌های بتا-آمیلوئید یا جلوگیری از تشکیل آنها، از طریق انتقال سیناپسی در هیپوکامپ، می‌تواند مکانیسمی باشد که پروپیوتیک‌ها از آن استفاده می‌کنند (۲۱). از این رو، احتمال دیگر این است که پروپیوتیک‌ها، از طریق فشارهای استرس اکسیداتیو و نشانگرهای زیستی پیش‌التهابی آزاد شده از میکروگلیا فعال شده و فعالیت مدارهای عصبی را بهبود می‌بخشد. بنابراین، براساس شواهد ارائه شده به نظر می‌رسد یکی از اصلی‌ترین مکانیسم‌هایی که باکتری‌های مفید بر فعالیت مدارهای عصبی تأثیر می-گذارند شیمی عصبی مغز است (۱۷).

همچنین، اسیدهای چرب زنجیره کوتاه تولید شده توسط پروپیوتیک‌های لاکتوپاسیل‌ها و بیفیلوباكتریوم، از جمله اسید بوتیریک و پروپیونیک اسید، به عنوان عوامل ضد التهابی عمل می‌کنند و باعث مهار فعل شدن NF-KB می‌شود. همچنین اثرات ضد التهابی و آنتی اکسیدانی پروپیوتیک‌ها در اندام‌های دورتر نیز مشاهده شده است و نشان می‌دهد که آنها نه تنها به صورت محلی عمل می‌کنند (۳۸)، بلکه می‌توانند منتقل به سیستم عصبی مرکزی توسط اعصاب آوران

تهران به انجام رسیده است. بدین وسیله از کمک و مساعدت این عزیزان تقدیر و تشکر به عمل می‌آید.

منابع

1. Ait-Belgnaoui A., Durand H., Cartier C., Chaumlinaz G., Eutamene H., Ferrier L., 2012. Prevention of gut leakiness by a probiotic treatment leads to attenuated HPA response to an acute psychological stress in rats. *Psychoneuroendocrinology*, 37: 1885-1895.
2. Ait-Belgnaoui A., Colom A., Braniste V., Ramalho L., Marrot A., Cartier C., 2014. Probiotic gut effect prevents the chronic psychological stress-induced brain activity abnormality in mice. *Journal of Neurogastroenterology and Motility*, 26: 510-520.
3. Akkasheh G., Kashani-Poor Z., Tajabadi-Ebrahimi M., Jafari P., Akbari H., Taghizadeh M., 2016. Clinical and metabolic response to probiotic administration in patients with major depressive disorder: a randomized, double-blind, placebo-controlled trial. *Nutrition*, 32: 315-320.
4. Asadi F., Jamshidi A., Khodagholi F., Yans A., Azimi L., Faizi M., 2015. Reversal effects of crocin on amyloid -induced memory deficit: Modification of autophagy or apoptosis markers. *Pharmacology and Biochemistry*, 13(9): 47-58.
5. Ásványi-Molnár N., Sipos-Kozma Z., Tóth Á., Ásványi B., Varga L., 2009. Development of functional dairy food enriched in spirulina (*Arthrospira platensis*). *Tejgazdaság*, 69(2):15-22.
6. Bandaru S., Rivenson A., 1993. Inhibitory Effect of *Bifidobacterium longum* on Colon, Mammary, and Liver Carcinogenesis Induced by 2-Amino-3-methylimidazo[4,5-f]quinoline, a Food Mutagen. *Division of Nutritional carcinogenesis and experimental pathology and toxicology. American Health foundation. Valhalla*, 53: 17-193.

مطالعه قرار گرفته است (۴۷) به عنوان مثال، مصرف ماست حاوی *L. acidophilus* به مدت ۹ هفته (۴۸)، یا شیر حاوی *L. fermentum* به مدت ۳ هفته (۲۶)، نشانگرهای زیستی استرس اکسیداتیو را کاهش داد. اگرچه مکانیسم دقیق اثرات پروبیوتیک‌ها بر استرس اکسیداتیو به طور کامل ثابت نشده است، اما شواهد زیادی نشان می‌دهد که پروبیوتیک‌ها با کاهش تولید سیتوکین، استرس اکسیداتیو را بهبود می‌بخشند. استرس و التهاب اکسیداتیو با هم مرتبط هستند و رادیکال‌های آزاد می‌توانند با فعال کردن NF-k_B باعث ترشح TNF شوند (۲۴). برخی مطالعات نشان داده‌اند (۳۱) که پروبیوتیک‌ها باعث افزایش فعالیت گلوتامات- سیستئین لیگاز و افزایش میزان سنتز گلوتاتیون می‌شوند (۹) و آنها همچنین می‌توانند تولید آئیون سوپراکسید و رادیکال هیدروکسیل را مسدود کنند (۱۵) و باعث کاهش محتوای پروکسیدان و تحریک و تقویت سیستم ایمنی بدن شوند (۳).

نتیجه‌گیری

در این مطالعه افزایش تعداد نورون‌ها و همچنین کاهش تعداد پلاک‌های آمیلوئیدی در گروه‌های درمانی نسبت به گروه‌های آلزایمری شده دیده می‌شود. با توجه به گزارشاتی که بیان شد، می‌تواند با مهار فاکتورها و مسیرهای التهابی سبب بهبود رت آلزایمری شوند. همچنین خاصیت آنتی اکسیدانی می‌تواند باعث کاهش رادیکال‌های آزاد و در نتیجه کاهش استرس اکسیداتیو شود که در نهایت می‌تواند منجر به بهبودی رت‌های آلزایمری شود.

تقدیر و تشکر

این پژوهش، حاصل پایان نامه کارشناسی ارشد دانشگاه آزاد اسلامی واحد علوم و تحقیقات تهران بود و با حمایت‌های معنوی حوزه معاونت محترم پژوهشی دانشگاه آزاد اسلامی واحد علوم و تحقیقات

- depression. *Neuroscience*, 1(70): 1179-1188.
15. Desbonnet L., Garrett L., Clarke G., Bienenstock J., Dinan T.G. 2008. The probiotic *Bifidobacteria infantis*: an assessment of potential antidepressant properties in the rat. *Journal of Psychiatry Research*, (43): 164-174.
16. Dyffy LC., Zielezny MA., Roepenhoff-Talty M., 1994. Effectiveness of *Bifidobactruim bidifum* in mediating the clinical course of murine rotavirus diarrhea. *Pediatry Research*, (35): 690-696.
17. Eftekharzadeh B., Ramin M., Khodagholi F., Moradi S., Tabrizian K., Sharif R., 2012. Inhibition of PKA attenuates memory deficits induced by -amyloid (1-42), and decreases oxidative stress and NF-B transcription factors. *Behavior Brain Research*, 226(1): 301-308.
18. Famularo G., Moretti S., Marcellini S., 1997. Stimulation of immunity by probiotics. In: Fuller R, ed. Probiotics : Therapeutic an other beneficial effects. London: *Chapman and Hall*, 13(3): 161.
19. Guarner F., Schaafsma G., 1998. Probiotics. *International Journal of Food Microbiology*, 39(3): 237-238.
20. HisakoYasui H., Ohwaki M., 1991. Enhancement of Immune Response in Peyer's Patch Cells Cultured with *Bifidobacterium breve*. *Journal of Dairy Science*, 74: 1187-1195.
21. S. Hong V., Beja-Glasser B., Nfonoyim A., Frouin S., Li S., Ramakrishnan K., Merry Q., Shi A., Rosenthal B., Barres C., Lemere D., Selkoe B., 2016. Complement and microglia mediate early synapse loss in Alzheimer mouse models. *Science*, 352: 712-716.
22. Joint F., 2001. WHO Expert consultation on evaluation of health and nutritional properties of probiotics in food including powder milk with live lactic acid bacteria. *Córdoba Argentina*, 8: 585-615.
7. Bercik P., Park AJ., Sinclair D., Khoshdel A Lu J., Huang X. 2011. The anxiolytic effect of *Bifidobacterium longum NCC3001* involves vagal pathways for gut-brain communication. *Journal of Neurogastroenterology and Motility*, 23: 1132-1139.
8. Bravo J.A., Forsythe P., Chew M.V., Escaravage E., Savignac H., Dinan T.G. 2011. Ingestion of *Lactobacillus* strain regulatesemotional behavior and central GABA receptor expression in a mouse via the vagus nerve. *Proceedings of the National Academy of Sciences*, 10(8): 16050-16055.
9. Carvalho B., and Abdalla Saad M.J., 2013. Influence of gut microbiota onsubclinical inflammation and insulin resistance. *Mediators and Inflammation*, 98(6): 734.
10. Cryan JF., Dinan TG., 2012. Mind-altering microorganisms: theimpact of the gut microbiota on brain and behaviour. *Nature Reviews Neuroscience*, 13: 701-712.
11. D'Andrea MR., Nagele RG., 2006. Targeting the alpha 7 nicotinic acetylcholine receptor to reduce amyloid accumulation in Alzheimer's disease pyramidal neurons. *Current Pharmacy Desisease*, 12(6): 677-84.
12. De Simone C., Ciardi A., Grassi A., 1992. Effect *Bifidobacterium bifidum* and *Lactobacillus* on gut mucosa peripheral blood B lymphocytes. *Immunopharmacology Immunotoxicology*, (14): 331-40.
13. Desbonnet L., Garrett L., Clarke G., Bienenstock J., DinanTG., 2008. The probiotic *Bifidobacteria infantis*: an assessment ofpotential antidepressant properties in the rat. *Journal of Psychiatry Research*, 43: 164-174.
14. Desbonnet L., Garrett L., Clarke G., Kiely B., Cryan JF., DinanTG., 2010. Effects of the probiotic *Bifidobacteria infantis* in thematernal separation model of

- health and hypothalamic–pituitary–adrenal axis: a randomized, double-blind, placebo-controlled trial in petrochemical workers. *Nutr. Neuroscience*, 19(9): 387-395.
32. Mohammadi HS., Goudarzi I., Lashkarbolouki T., Abrari K., Salmani ME., 2014. Chronic administration of quercetin prevents spatial learning and memory deficits provoked by chronic stress in rats. *Behavior and Brain Research*, 2(70): 196-205.
33. Nordberg A., 2001. Nicotinic receptor abnormalities of Alzheimer's disease: therapeutic implications. *Biology and Psychiatry*, 49(3): 200-210.
34. Ojetii V., Petruzzello C., Minnecol A., Gnarral A., Gasbarrini A., Franceschil F., 2017. Effect of *Lactobacillus reuteri* (DSM 17938) on methane production in patients affected by functional constipation: a retrospective study. *Dermatology*, 21: 1702-1708.
35. O'Sullivan E., Barrett E., Grenham S., Fitzgerald P., Stanton C., Ross RP., 2011. BDNF expression in the hippocampus of maternally separated rats: does *Bifidobacterium breve* alter BDNF levels? *Beneficial of Microbes*, 2: 199-207.
36. Palop J., Mucke L., 2010. Amyloid- β -induced neuronal dysfunction in Alzheimer's disease: from synapses toward neural networks. *Neuroscience*, 13(7): 812-8.
37. Qinghui M., Vincent J., 2018. Tavella and Xin M. Luo . Role of *Lactobacillus reuteri* in Human Health and Diseases. *Frontiers of Microbiology*, 19(9): 757
38. Quigley E.M., 2010. Prebiotics and probiotics; modifying and mining the microbiota. *Pharmacology Research*, 61(3): 213-218.
39. Rezaee P., Kasra-Kermanshahi R., Katuli M., 2014. Prebiotics Decrease the Antibacterial Effect of Nano Silver and Nano TiO₂ Particles Against Probiotic Bacteria of Food. *Current Nutraceutical Food Science*, 10(2): 1-6.
23. Kubota M., Kobayashi N., Sugizaki T., Shimoda M., Kawahara M., 2020. Carnosine suppresses neuronal cell death and inflammation induced by 6-hydroxydopamine in an in vitro model of Parkinson's disease. *PLOS One*, 02(4): 0448
24. Li J., Wang C., Zhang J., Cai J., Cao Y., Sun X., 2010. Hydrogenrichsaline improves memory function in a rat model of amyloid-beta-induced Alzheimer's disease by reduction of oxidative stress. *Brain Research*, 13(28): 152-161.
25. Lin M., Beal M., 2006. Mitochondrial dysfunction and oxidative stress in neurodegenerative diseases. *Nature*, 71(13): 787-795.
26. Mikelsaar M., Zilmer M., 2009. *Lactobacillus fermentum* ME-3 – an antimicrobial and antioxidative probiotic. *Microbial Ecology in Health and Disease*, 121(1): 1-27.
27. Masliah E., Mallory M., Hansen L., Richard D., Alford M., Terry R., 1994. Synaptic and neuritic alterations during the progression of Alzheimer's disease. *Neuroscience Letter*, 174(1): 67-72.
28. Mesulam M., 2004. The cholinergic lesion of Alzheimer's disease: pivotal factor or side show? *Learning and Memory*, 11(1): 43-49.
29. Miettinen M., Vupio-Varkila J., Varkila K., 1996. Production of human tumor necrosis facto alpha, interleukin-6 , and interleukin-10 is induced by lactic acid bacteria. *Infect Immun. ASM Journals of Infection and Immunity*, 64: 5403-5405.
30. Mohammadi A., Jazayeri S., Khosravi-Darani K., Solati Z., Mohammadpour N., Asemi Z., 2016. The effects of probiotics on mental health and hypothalamic–pituitary–adrenal axis: a randomized, double-blind, placebo-controlled trial in petrochemical workers. *Nutr. Neuroscience*, 19(9): 387-395.
31. Solati Z., Mohammadpour N., Asemi Z. 2016. The effects of probiotics on mental

- Disease Model of Rats. *Iranian Biomedical Journal*, 24 (4): 220-228
47. Tapia-Arancibia L., Aliaga E., Silhol M., Arancibia S., 2008. New insights into brain BDNF function in normal aging and Alzheimer disease. *Brain Research*, 59(1): 201-220.
48. Tapia-Arancibia L., Aliaga E., Silhol M., Arancibia S., 2008. New insights into brain BDNF function in normal aging and Alzheimer disease. *Brain Research*, 59(1): 201-220.
49. Mitsuoka T., 1992. The Human Gastrointestinal Tract. The Lactic Acid Bacteria . *Springer*, 1(69):114.
50. Walsh D., Klyubin I., Fadeeva J., Rowan M., Selkoe D., 2002. Amyloid- β oligomers: their production, toxicity and therapeutic inhibition. *Biochemical Society Trans*, 30(4): 552-557.
51. Wang Y., Kasper L.H., 2014. The role of microbiome in central nervous system disorders. *Brain and Behavioral Immunity*, 1(38): 1-12.
52. Wang Y., Wu Y., Wang Y., Xu H., Mei X., Yu D., 2017. Antioxidant properties of probiotic bacteria. *Nutrients*, 1(9): 521.
53. WennLiu Y., HsienLiu W., ChenWu C., ChenJuan Y., ChenWu Y., PingTsai H., Wang S., ChiehTsai Y., 2016. Psychotropic effects of Lactobacillus plantarum PS128 in early life-stressed and naïve adult mice. *Brain Research*, 16(15): 1-12.
40. Salam A., Anatoly Bezkrovainy I., 1993. Survival of bifidobacteria in the presence of bile salt. *Journal of the science of food and agriculture*, 62(4): 351-354.
41. Sgorbati B., Biavati B., Palenzona D., 1986. Genus bifidobacterium. Bergey's manual of systematic bacteriology. *The Genera of Lactic Acid Bacteria*, 27(9): 306
42. Schiffriin EJ., Brassart D., Servin A., 1997. Immune modulating of blood leukocytes in humans by lactic acid bacteria : Criteria for strain selection . *American Journal of Clinical Nutrition*, 66: 15-20.
43. Shariatpanahi M., Khodagholi F., Ashabi G., Khasraghi A., Azimi L., Abdollahi M. 2015. Ameliorating of memory impairment and apoptosis in amyloid -injected rats via inhibition of nitric oxide synthase: possible participation of autophagy. *Iranian Journal of Pharmaceutical Research*, 14(3): 811-824.
44. Athari S., 2018. Lactobacilli and bifidobacteria ameliorate memory and learning deficits and oxidative stress in β -amyloid (1-42) injected rats. *Physiology, Nutrition and Metabolism*, 43(7): 718-726.
45. Sheehan V., Ross P., Fitzgerald G., 2007. Assessing the acid tolerance and the technological robustness of probiotic cultures for fortification in fruit juices. *Innovation of Food Science and Emerging Technology*, 8(2): 279-284.
46. Mehrabadi1 S., Sadr S., 2020. Assessment of Probiotics Mixture on Memory Function, Inflammation Markers, and Oxidative Stress in an Alzheimer's

Investigating the Effect of Local Probiotics Strains on β -Amyloid Brain Biomarker in Induced Alzheimer's-Disease Wistar Rats

Ehsan Asghari Jafari¹, Maryam Ghobeh^{1,*}, Hanieh Jafary¹, Parichehreh Yaghmaei^{1,*}

Department of Biology, Science and Research Branch, Islamic Azad University,
Tehran, Iran

Abstract

One of the most important causes of global population decline is the overgrowth of neurodegenerative diseases, including Alzheimer's disease characterized by the extracellular accumulation of amyloid beta ($A\beta$) plaques in the hippocampus. Probiotics are microscopic organisms that are important for maintaining and improving human health. This study aims at assessing the effect of two probiotic strains, including *Bifidobacterium longum* and *Limosilactobacillus reuteri* on $A\beta42$ gene expression, the count of amyloid plaques, and neurogenesis in the brain of Alzheimer's disease rat models. First, two probiotic strains were isolated, purified and identified from traditional yogurt, and the rats were grouped as follows: thirty male Wistar rats were randomly divided into 5 groups. The control group underwent any surgery with no special treatment. The other groups underwent surgery and after being injected by $A\beta42$, they were divided into the sham group receiving water (probiotics solvent) and the two experimental groups receiving 2.5×10^9 CFU of *Bifidobacterium longum* and *Limosilactobacillus reuteri* strains. Finally, $A\beta42$ gene expression, the count of amyloid plaques, and neurogenesis were assessed in the brain of Alzheimer's disease rat models. In the brain of induced Alzheimer's disease rats, neuron death occurred and the number of amyloid plaques increased significantly ($p < 0.001$). Also, $A\beta42$ gene expression was increased in their brains. Meanwhile, treatment with both probiotic strains notably improved all of these symptoms. Therefore, the use of both *Bifidobacterium longum* and *Limosilactobacillus reuteri* probiotic strains seem to be effective in the recovery and treatment of Alzheimer's disease which certainly requires more investigations.

Keywords: Amyloid beta, Native probiotic strain, Western blot, Amyloid plaques, Neurogenesis.